

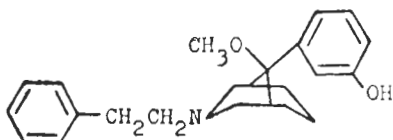
强效镇痛剂3-(β -苯乙基)-9 β -甲氧基-9 α -(间-羟苯基)-3-氮杂二环[3,3,1]-壬烷(P-7521)对兔脑电的影响

赵国民、周杰、池志强 (中国科学院上海药物研究所, 上海 200031)

摘要 强效镇痛剂 P-7521 系氮杂二环壬烷类化合物, 给兔 iv P-7521 0.8 或 4.0 $\mu\text{g}/\text{kg}$ 后, EEG 高幅 δ 活动增多, θ 活动减少, 对声刺激反应消失。iv 450 $\mu\text{g}/\text{kg}$ 后 EEG 进一步同步化, 未见棘波或痫样放电。icv P-7521 4.0 或 45.0 $\mu\text{g}/\text{kg}$ 后得到类似的抑制型 EEG。P-7521 所致 EEG 变化可被纳洛酮完全逆转。P-7521 对兔呼吸频率和心率均有一定抑制作用。

关键词 镇痛剂, 3-(β -苯乙基)-9 β -甲氧基-9 α -(间-羟苯基)-3-氮杂二环[3,3,1]-壬烷, 脑电描记术, 吗啡, 纳洛酮

P-7521 系氮杂二环壬烷类化合物, 由 Ohki 等首先合成⁽¹⁾, 具有强效镇痛活性⁽²⁾, 对兔镇痛强度约为吗啡的 400 余倍, 作用时间较吗啡长 1 倍以上, 安全度也较大⁽³⁾。它对阿片受体有高度的亲和力⁽⁴⁾, 是一个颇有前途的镇痛剂。因至今未见其对 EEG 影响的报道, 本文选用 P-7521 的不同剂量及两种给药方法, 研究了它对兔 EEG 的影响。



3-(β -Phenylethyl)-9 β -methoxy-9 α -(*m*-hydroxy-phenyl)-3-azabicyclo[3,3,1]-nonane (P-7521)

材料和方法

P-7521 即 3-(β -苯乙基)-9 β -甲氧基-9 α -(间-羟苯基)-3-氮杂二环[3,3,1]-壬烷, 系本所合成, 吗啡由青海制药厂生产, 纳洛酮由上海医科大学提供, 均系白色结晶。实验前溶解于生理盐水中。日本大耳兔, 体重 2.5 ±

SD 0.3 kg, ♀♂不拘, 随机分组。

以不锈钢针作电极, 外涂绝缘漆, 尖端 0.5 mm 裸露, 皮层电极直径 0.8 mm, 皮层下电极直径 0.35 mm。在 1% 普鲁卡因局麻下, 切开兔头皮, 在颅骨上安置皮层电极, 使电极尖端插抵大脑皮层前感觉运动区(ASM)和视区(Co)。再按 Monnier 等的方法和图谱⁽⁵⁾, 将电极插入皮层下各区: 尾核(NCa), 海马(CA) 和中央灰质区(PAG)。在 P₁L₄H₈ 位置安装侧脑室套管⁽⁶⁾。部分兔在安置皮层电极前, 先进行气管插管, 以便做人工呼吸下的 EEG。手术结束后兔休息至少 2 h, 放在活动受到一定限制的笼中, 在非麻醉、非箭毒化状态下记录 EEG、ECG, 并用呼吸曲线检测器记录呼吸频率, 在声(500 Hz)、光(6 Hz)刺激下记录 EEG 反应作为对照, 然后耳静脉 iv 或侧脑室 icv 注入受试药物, 再作记录。EEG 除单极导联外皮层下各区并作双极导联。全部实验中兔一次给药后即不再重复使用。实验结束时, 用直流电损毁法, 验证电极尖端插入组织的位置, icv 兔注入龙胆紫验证侧脑室套管位置。使用自制三荣 EG-130 脑电仪记录 EEG, PS-201 声光刺激器进行声、光刺激, EA-201 分析仪分析 ASM 和 PAG 区的 EEG 积分值, 呼吸曲线检测器系 EG-130 脑电仪附件。

结 果

镇痛剂量的 EEG 正常兔 EEG 分成唤醒型和睡眠型, 安静环境下两型交互变换, 给以声刺激时 EEG 立即呈唤醒型即皮层脑波呈低幅快波, 皮层下脑波呈整齐 θ 节律, 称唤醒反应, 给以闪光刺激时, 对每次闪光均有诱发电

位，尤以 Co 和 PAG 区最明显。iv P-7521 0.8 或 4.0 μg/kg 后，EEG 在 1-2 min 内发生同步化，唤醒型脑波消失，对声刺激唤醒反应消失，海马 θ 节律消失，皮层和皮层下均以波幅为 0.6-2 mV 的 1-3 Hz 高幅慢波占优势，弥漫出现，EEG 活动总量有所增加，以 ASM 区尤为明显，在 10 min 后逐渐下降。对 ASM 和 PAG 区的 EEG 积分分析结果见表 1。由表 1 可知 iv P-7521 后，ASM 区 δ 活动明显增加，PAG 区则从以 θ 活动为主转为以 δ 活动为主。此外，ASM 区梭波规则性变差，频率下降，例如在 iv 4.0 μg/kg 组，梭波频率由给药前 14.6 ± 0.9 (Hz) 降至给药后 5 min, 12.0 ± 1.0; 1 h, 11.8 ± 0.8; 2 h, 11.7 ± 0.7。相差显著 ($p < 0.01$)。尽管 iv P-7521 后 EEG 发生了很大变化，但其对闪光刺激的诱发电位却始终存在。iv 0.8 μg/kg 组在 1 h 后唤醒反应逐渐恢复，iv 4.0 μg/kg 组直至 2.5 h 仍未恢复。iv P-7521 后心率下降，且 4.0 μg/kg 组在 5-

10 min 内有 4 兔偶有室性早搏，呼吸频率明显下降，但呼吸深度增加。见表 1。兔在外观行为上安静、呆滞、少动。

人工呼吸下的 EEG 在体内 P_{CO_2} 增高的情况下 EEG 有变慢的倾向⁽⁷⁾。为排除 P-7521 所致呼吸抑制对 EEG 的影响，我们记录了人工呼吸条件下，iv P-7521 4.0 μg/kg 的 EEG。先记录正常 EEG，再进行人工呼吸，未见 EEG 有任何变化，然后 iv P-7521。结果表明，EEG 的变化同非人工呼吸条件下类似，但恢复稍快。见表 1。

大剂量时的 EEG 给兔 iv P-7521 450 μg/kg ($n = 3$) 和 iv 吗啡 150 mg/kg ($n = 2$)，分别相当于各自镇痛 ED_{50} 的 1200 倍和 950 倍^(3,4)，EEG 变化见图 1。iv P-7521 后 EEG 立即呈现高幅慢波，在数分钟内兔伴有躁动，以后安静、呆滞。iv 吗啡后 EEG 亦立即呈高幅慢波，30 min 后 1 兔 Co 区有棘慢波发放，另 1 兔出现痫样放电，兔外观行为有颤动、抽

Tab 1. Influences of iv P-7521 on the EEG integration values, the respiratory rate and the heart rate in conscious rabbits. Activity (%) showed the integration values of δ or θ activity in total EEG integration values. $n = 5$, $\bar{x} \pm SD$, * $p > 0.05$, ** $p < 0.05$, *** $p < 0.01$. † Under artificial respiration

	Dose (μg/kg)	0 min	5 min	15 min	30 min	1 h	2 h
Periaqueductal gray	δ (%)	0.8	27 ± 4	53 ± 2***	48 ± 2***	46 ± 4***	45 ± 4***
	4.0	30 ± 5	53 ± 7***	56 ± 3***	51 ± 5***	53 ± 4***	51 ± 7***
	4.0†	27 ± 4	50 ± 5***	53 ± 4***	53 ± 4***	50 ± 3***	50 ± 5***
	θ (%)	0.8	51 ± 3	29 ± 3***	32 ± 4***	33 ± 5***	33 ± 3***
	4.0	47 ± 4	29 ± 8***	28 ± 4***	32 ± 3***	30 ± 3***	30 ± 3***
	4.0†	48 ± 5	34 ± 4***	29 ± 4***	28 ± 3***	31 ± 2***	33 ± 5***
Anterior sensorimotor cortex	δ (%)	0.8	26 ± 5	44 ± 7***	47 ± 8***	44 ± 9***	39 ± 11**
	4.0	33 ± 4	52 ± 10***	55 ± 8***	50 ± 13**	47 ± 7***	37 ± 8*
	4.0†	30 ± 1	44 ± 8***	41 ± 7***	41 ± 4***	40 ± 5***	33 ± 3*
	θ (%)	0.8	23 ± 6	24 ± 5*	22 ± 6*	24 ± 3*	21 ± 3*
	4.0	23 ± 2	20 ± 2*	18 ± 3*	19 ± 4*	21 ± 3*	23 ± 3*
	4.0†	26 ± 7	22 ± 5*	22 ± 4*	20 ± 3*	23 ± 3*	23 ± 5*
Respiratory rate (breaths/min)	0.8	64 ± 34	34 ± 10*	30 ± 11*	32 ± 9*	31 ± 8*	31 ± 6*
	4.0	67 ± 26	12 ± 4***	10 ± 6***	13 ± 8***	15 ± 5***	15 ± 7***
	4.0†	56	56	56	56	56	56
Heart rate (beats/min)	0.8	231 ± 30	158 ± 76*	145 ± 64**	170 ± 45**	187 ± 44*	206 ± 34*
	4.0	212 ± 45	91 ± 16***	99 ± 10***	127 ± 9***	134 ± 68*	178 ± 30*
	4.0†	276 ± 8	167 ± 25***	164 ± 29***	174 ± 43***	189 ± 41***	190 ± 38***

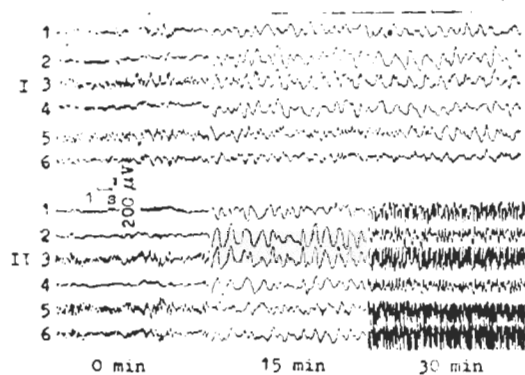


Fig 1. EEG of rabbits after iv P-7521 450 $\mu\text{g}/\text{kg}$ (I) or morphine 150 $\mu\text{g}/\text{kg}$ (II). Lead: 1: anterior sensorimotor cortex; 2: nucleus caudatus; 3: hippocampus; 4: periaqueductal gray; 5: nucleus caudatus-hippocampus; 6: hippocampus-periaqueductal gray.

搐和惊厥。

icv 时的 EEG 先记录 icv 0.1 ml 生理盐水的 EEG, 30 min 后 icv P-7521 4.0 ($n=2$) 或 45.0 $\mu\text{g}/\text{kg}$ ($n=2$), 实验结果表明 icv 的 EEG 同 iv 的相似, 但 icv 时 EEG 同步化前有 1-3 min 去同步化, 即唤醒型脑波出现, 然后

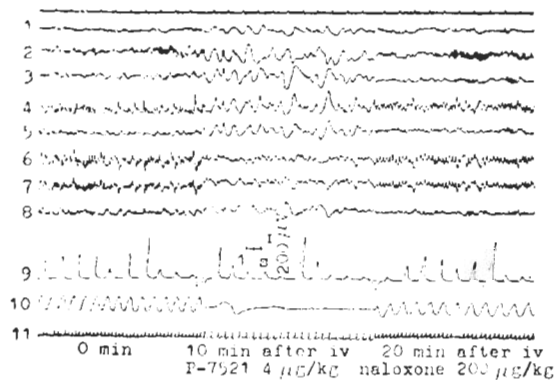


Fig 2. EEG of the unanesthetized noncurarized rabbit after P-7521 and naloxone. Lead: 1: optic cortex; 2: anterior sensorimotor cortex; 3: nucleus caudatus; 4: hippocampus; 5: periaqueductal gray; 6: nucleus caudatus-hippocampus; 7: hippocampus-periaqueductal gray; 8: nucleus caudatus-periaqueductal gray; 9: integration value; 10: respiration curve; 11: electrocardiogram.

再呈现高幅慢波。

纳洛酮拮抗 iv 纳洛酮 200 $\mu\text{g}/\text{kg}$ ($n=2$), 观察 30 min, 未见 EEG 有明显变化。在 iv P-7521 4.0 $\mu\text{g}/\text{kg}$ ($n=4$) 后, EEG 同步化, 10 min 后立即 iv 纳洛酮 80.0 $\mu\text{g}/\text{kg}$ ($n=1$), 虽呼吸抑制逆转, 声唤醒反应恢复, 但 EEG 未完全恢复。iv 纳洛酮 200 $\mu\text{g}/\text{kg}$ ($n=3$), 20 min 后呼吸频率、心率、声唤醒反应和 EEG 完全逆转。见图 2。兔外观呆滞状态也消失。

讨 论

以上实验结果表明, iv 或 icv P-7521, 对兔 EEG 的主要影响是增加 δ 活动, 减少 θ 活动, 降低梭波频率, 使 EEG 同步化, 对外界声刺激反应减弱或消失。外观行为安静、呆滞、少动。即使 iv 1200 倍镇痛 ED₅₀ 的剂量也无棘波或痫样放电, 与此相比较, iv 吗啡 50-200 $\mu\text{g}/\text{kg}$ 剂量时⁽⁸⁾, EEG 就出现棘波甚至痫样放电, 外观行为上有惊厥、抽搐、颤抖等。就此而论 P-7521 比吗啡性能优越。iv 同 icv P-7521 有相似的 EEG 和行为改变, 可以推测这两种改变都是 P-7521 作用于 CNS 的结果, 而且是抑制性作用。

实验结果表明, P-7521 对兔 EEG 的影响可被专一性吗啡拮抗剂纳洛酮完全逆转, 可以推测 iv P-7521 后 EEG 变化同阿片受体被激动有关。文献(9)曾报道, 不同阿片受体 μ 、 δ 、 κ 的激动剂引起不同的 EEG 变化, 而 μ 受体激动剂在多种动物上表现为 EEG 高幅慢波增多, 因此我们的结果提示 P-7521 是 μ 受体激动剂, 它主要是激动了 μ 受体, 这同此类化合物有关衍生物的生化药理结果^(4,10) 相一致。我们曾报道⁽⁸⁾, iv P-7521 1.0 $\mu\text{g}/\text{kg}$ 对膈神经放电频率的抑制作用可被 iv 20 倍剂量的纳洛酮所翻转。本实验结果表明, iv P-7521 4.0 $\mu\text{g}/\text{kg}$ 引起的 EEG 变化需 50 倍剂量的纳洛酮才能完全逆转。实验中由于 EA-201 分析仪对 δ 活动分析的最低频率为 2 Hz, 而 iv P-7521

后， δ 活动的频率常降至1-3 Hz，因此 δ 活动的实际积分值应比仪器积分值还要大。

致谢 郑维君参加部分技术工作

参考文献

- 1 Ohki E, Oida S, Ohashi Y, Yoshida A, Kamoshita K, Takagi H. 3,5-Propanopiperidine derivatives as potential analgesics. *Chem Pharm Bull* 1974; 22 : 1014
- 2 周德和、方苏南、葛邦铭, 等. 氮杂二环烷类衍生物的合成及其镇痛活性. 药学学报 1982; 17 : 503
- 3 周杰、郑维君、池志强. 强效镇痛剂3-(β -苯乙基)-9 β -甲氧基-9 α -(间-羟苯基)-3-氮杂二环[3,3,1]-壬烷(P-7521)对兔的镇痛与抑制呼吸作用. 中国药理学报 1987; 8 : 10
- 4 汪大渊、池志强. 五个3-氮杂二环[3,3,1]-壬烷类衍生物镇痛活性与鸦片受体结合亲和力的关系. 同上 1984; 5 : 158
- 5 Monnier M, Gangloff H. Atlas for stereotaxic brain research on the conscious rabbit. In: Monnier M, Gangloff H, Huber M, Krupp P, eds. *Rabbit brain research*; vol 1. Amsterdam: Elsevier, 1961 : 44-56
- 6 Sawyer CH, Everett JW, Green JO. The rabbit diencephalon in stereotaxic coordinates. *J Comp Neurol* 1954; 101 : 801
- 7 Meyer JS, Gotoh F, Tomita M. Acute respiratory acidemia. Correlation of jugular blood composition and electroencephalogram during CO₂ narcosis. *Neurology* 1966; 16 : 463
- 8 Longo VG. Electroencephalographic atlas for pharmacological research. In: Longo VG, ed. *Rabbit brain research*; vol 2. Amsterdam: Elsevier, 1962 : 80-7
- 9 Martin WR. Pharmacology of opioids. *Pharmacol Rev* 1983; 35 : 283
- 10 Xu H, Chen J, Chi ZQ. Binding of 3-(β -phenylethyl)-9 β -methoxy-9 α -(*m*-propionoxy-phenyl)-3-azabicyclo[3,3,1]nonane (P7548) to different types of opiate receptors. *Chin J Physiol Sci* 1986; 2 : 55

Acta Pharmacologica Sinica 1988 Jul; 9 (4) : 300-303

Effects of potent analgesic 3-(β -phenylethyl)-9 β -methoxy-9 α -(*m*-hydroxyphenyl)-3-azabicyclo [3,3,1]-nonane (P-7521) on electroencephalography in rabbits

ZHAO Guo-Min, ZHOU Jie, CHI Zhi-Qiang

(Shanghai Institute of Materia Medica, Chinese Academy of Sciences, Shanghai 200031)

ABSTRACT P-7521 is a potent analgesic derived from 3-azabicyclo [3,3,1]-nonanes. The investigation was carried out on the unanesthetized, non-curarized rabbits. After iv 0.8, 4.0 or 450 μ g/kg, a predominantly synchronized EEG which was characterized by the appearance of high voltage 1-3 Hz waves was seen both in the cortical and deep leads. The integration value of δ activity increased from about 29% to higher than 50% while that of θ activity decreased. In the sensorimotor cortex the spindle waves were poorly organized and slowed down. The EEG activated reaction produced by phonic stimulus was abolished.

In all EEG records of P-7521 the spikes or the electrographic seizure were not seen. All of these EEG changes were associated with behavioral tranquillization, stupor and immobility. After icv P-7521 4.0 or 45.0 μ g/kg the EEG changes were similar to those after iv. The EEG and behavioral effects of P-7521 could be antagonized by naloxone. The EEG changes were accompanied by the respiratory depression and the heart rate descent.

KEY WORDS analgesics: 3-(β -phenylethyl)-9 β -methoxy-9 α -(*m*-hydroxyphenyl)-3-azabicyclo[3,3,1]-nonane; electroencephalography; morphine; naloxone